



Rainfall Trends in the Southwestern Region of Syria Using Spatial and Statistical Analysis Methods

Sattam AL Shogoor^{1*}, Rahaf AL Rawas²

¹ Department of Geography, Faculty of Social Sciences, Mutah University, Jordan.

² Department of Geography, Faculty of Arts and Humanities, Damascus University, Syria.

Abstract

Received: 7/4/2021
Revised: 28/7/2020
Accepted: 19/9/2021
Published: 30/11/2022

* Corresponding author:
sattam_1975@mutah.edu.jo

Citation: AL Shogoor, S., & AL Rawas, R. (2022). Rainfall Trends in the Southwestern Region of Syria Using Spatial and Statistical Analysis Methods. *Dirasat: Human and Social Sciences*, 49(6), 484–495.
<https://doi.org/10.35516/hum.v49i6.3786>

This study aims to analyze the rainfall trends and the spatial-temporal variations in five stations during the period (1960-2019) in the southwestern region of Syria using MK & GIS. And to Predict rainfall amounts using IDW. The results showed decreasing trends in the monthly, seasonal and annual rainfall. The annual average showed a great variation with a standard deviation ranging between 51.1 – 131.7 mm from the average annual at the Damascus International Airport station, and 232.6 – 697.7 mm from the average annual (697.7 mm) in the Quneitra station. Quneitra showed a significant negative trend during the study period at a 5% significance level in the annual rainfall series. The upper limit for the significant changes on the monthly level was in the stations (Daraa, Quneitra, and Mezze), the stations (Daraa and Quneitra) showed the maximum decline in the general direction; This indicates a sharp change in the amount of monthly rainfall during the study period, which amounted to (8.03 mm in Daraa, and reached (18.7 mm/month) at the significance of 5% in the series of rainfall during March. The trends of rainfall changed from winter to spring and then autumn, and the results of the MK analysis showed the presence of low negative trends in the winter season, and high negative trends in the fall and spring seasons. The Quneitra station was the most changing compared to the stations and recorded the maximum negative decrease in the amount of rainfall, which amounted to 3.9 mm in May.

Keywords: Rainfall; spatial analysis; MK.

اتجاهات هطول الأمطار في الإقليم الجنوبي الغربي من سوريا باستخدام أساليب التحليل المكانى والإحصائى

سالم سالم الشغور^{1*}, رهف محمد زين الرواس²

¹ قسم الجغرافيا، كلية العلوم الاجتماعية، جامعة مؤتة، الأردن.

² قسم الجغرافيا، كلية الآداب والعلوم الإنسانية، جامعة دمشق، سوريا.

ملخص

هدفت الدراسة إلى تحديد الاتجاهات العامة للهطول المطري، وتبيناتها الزمنية والمكانية في خمس محطات تمثل الإقليم الجنوبي الغربي من سوريا خلال الفترة (1960-2019)م، وقد جرى استخدام الاختبار الإحصائي (Mann Kendall MK) للكشف عن الاتجاهات في هطول الأمطار الشهرية والفصلية والسنوية، وتم التنبؤ بكميات الأمطار باستخدام طريقة (IDW) وقد بيّنت النتائج وجود اتجاهات سلبية متناظرة في كميات الهطول الشهري والفصلي والسنوي. وتبين وجود تباين كبير في المتوسط السنوي للهطول المطري في محطات الدراسة؛ حيث تراوح الانحراف المعياري بين 51.1 - 131.7 ملم في محطة مطرار دمشق الدولي، وبين 232.6 - 697.7 ملم في محطة القنيطرة، وأظهرت القنطرة اتجاهها سلبياً معنوياً خلال فترة الدراسة عند مستوى معنوية 5٪ في سلسلة هطول الأمطار السنوية. وتبين أن الحد الأعلى للتغيرات المهمة على المستوى الشهري كان في محطات (درعا والقنيطرة ومطرار المزة) وأظهرت محطة (درعا والقنيطرة) أقصى انخفاض في الاتجاه العام؛ مما يشير إلى تغير حاد في كمية الهطول الشهري. خلال فترة الدراسة بلغ 8.03 ملم / شهر في درعا، وبلغ 18.7 ملم / شهر عند مستوى أهمية 5٪ في سلسلة هطل الأمطار الشهري. أمّا على النطاق الزماني الفصلي فقد تغيرت اتجاهات هطول الأمطار من الشتاء إلى الربيع ومن ثم الخريف، وبيّنت نتائج تحليل MK في جميع محطات الدراسة وجود اتجاهات سلبية منخفضة في فصل الشتاء، واتجاهات سلبية مرتفعة في فصلي الخريف والربيع، وكانت محطة القنيطرة كانت الأكثر تغييراً مقارنة بالمحطات الأخرى؛ حيث سجلت المحطة أقصى انخفاض سلبي في كمية الهطول بلغت 3.9 ملم / شهر في شهر أيار.

الكلمات الدالة: هطول الأمطار، مان كندال، التحليل المكانى.



© 2022 DSR Publishers/ The University of Jordan.

This article is an open access article distributed under the terms and conditions of the Creative Commons Attribution (CC BY-NC) license
<https://creativecommons.org/licenses/by-nc/4.0/>

1. المقدمة

أصبحت الموارد المائية مصدر قلق رئيسي لأي تطوير أو تخطيط يتعلق بالزراعة، أو الإدارة الفعالة لموارد المياه؛ بسبب تأثير تغير المناخ، وتبعاً لذلك أشارت تقارير الهيئة الحكومية الدولية المعنية بتغيير المناخ (IPCC) The Intergovernmental Panel on Climate Change (IPCC) إلى انخفاض في توفر المياه العذبة، وسيصل الانخفاض في متوسط الجريان السطحي السنوي وتتوفر المياه إلى 10-30٪ في منتصف القرن الحادي والعشرين (IPCC, 2007). لذا فقد أولى الباحثين اهتماماً كبيراً لتحليل اتجاهات السلاسل الزمنية لهطول الأمطار، وأثبتت الدراسات التي تناولت بيانات السلاسل الزمنية للأمطار، أن الاتجاه العام إما أن يتناقص أو يتزايد، بالإضافة إلى أن التدخل البشري يسهم في التغير المناخي بسبب تغير استخدامات الأراضي، والنشاطات البشرية المختلفة (Kalinay and Cai, 2003).

لقد تغيرت اتجاهات هطول الأمطار في منطقة شرق البحر المتوسط؛ حيث شهدت تباطؤاً طفيفاً في فصل الشتاء وانخفاضاً ملحوظاً في تساقطات منطقة الدراسة منذ بداية النصف الثاني من القرن الماضي (Luis, M. de, et al, 2009)، وقد أكد على ذلك حسابات نموذجية بينت أن معدلات هطول الأمطار في مناطق شرق البحر المتوسط سوف تخضع على نحو ملحوظ بحلول العقد الثالث من القرن الواحد والعشرين، وقد تراوحت نسبة الانخفاض بين 15-25٪ بسبب التغير المناخي (Pederson, 2008). ومن المتوقع أن يطال التغير المناخي خلال القرن الحالي معظم عناصر المناخ مما ينعكس على زيادة شدة الجفاف ونقص الموارد المائية (Krichak et. al, 2002).

إن معدلات الأمطار من أهم العوامل المؤثرة على المحاصيل الزراعية البعلية، وعلى التغيرات البيئية في الجزء الجنوبي الغربي من سوريا الذي يعد جزءاً من مناطق شرق البحر المتوسط؛ حيث بينت الدراسات وجود اتجاهات متناقضة في معدل هطل الأمطار السنوي في هذه المناطق. ومن هنا جاء هذا البحث لتحليل التغيرات التي طرأت على الاتجاهات العامة لكميات الأمطار في الإقليم الجنوبي الغربي من سوريا، وتحليل تقلبات هطول الأمطار، لتتأثيرها المباشرة على الموارد المائية والزراعة البعلية.

2. مشكلة الدراسة:

تعد كميات الأمطار في إقليم جنوب غرب سوريا من العوامل المهمة التي تؤثر في مختلف جوانب الحياة وخاصة الزراعية منها؛ وذلك لأن القطاع الزراعي يعتمد اعتماداً كبيراً على مياه الأمطار، وتلعب دوراً هاماً في التنمية الاقتصادية للبلد في المستقبل. وقد لوحظ خلال العقود الثلاثة الأخيرة انخفاض في كميات الأمطار السنوية، وتأخر في الموسم المطري، مما كان له أكبر الأثر في تعاقب حالات الجفاف، كما أدى إلى تراجع كثافة الغطاء النباتي الطبيعي، وتناقص رقعة الزراعة البعلية، إضافة إلى زيادة استخدام المياه ذات المصادر المحدودة لأغراض الري.

3. أهداف الدراسة:

- 1. تعرف التغير في كميات الأمطار السنوية والفصلية والشهرية في الإقليم الجنوبي الغربي من سوريا خلال الفترة (1960-2019).
- 2. الكشف عن الاتجاهات العامة في كميات هطول الأمطار السنوية والفصلية والشهرية في الإقليم الجنوبي الغربي من سوريا خلال الفترة (1960-2019).

5. أهمية الدراسة:

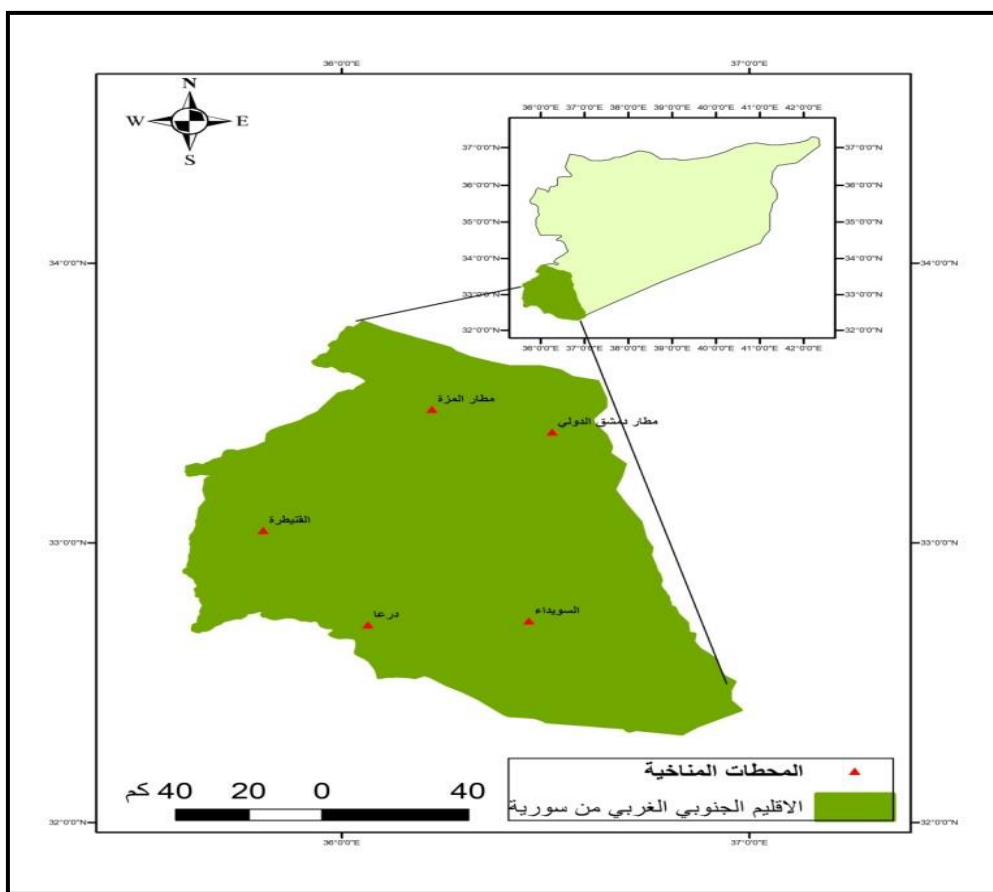
تقدّم هذه الدراسة لمحة عامة عن الخصائص الإحصائية لهطول الأمطار في جنوب غرب سوريا، بما في ذلك التقلبات السنوية والفصلية والشهرية، التي قد تساعد المسؤولين والمخططين على مواجهة أي نقص محتمل بكميات الأمطار، والتقليل من أثر ذلك على النشاطات الزراعية في منطقة الدراسة.

6. موقع ومناخ منطقة الدراسة:

تشكل منطقة الدراسة الجزء الجنوبي الغربي من سوريا، وتمتد على مساحة تبلغ نحو (17445) كم²، أما فلكياً فتقع بين خطى الطول (35° 35' شرقاً، دائري عرض 31° 32' و 33° 8' شمالاً، وهي تشمل محافظات دمشق وريفها والسويداء ودرعا والقنيطرة، الشكل (1). وإن أراضي إقليم الجنوب الغربي أراضي سهلية أو هضابية متوسط ارتفاعها بحدود (700) م، وبالتالي يتميز الإقليم بانعدام الكتل الجبلية العالية عدا كتلة جبل العرب التي تقع في الجهة الجنوبية الشرقية للإقليم ويصل في أقصى ارتفاعاته إلى (1803) م، وفي أقصى الجنوب الغربي في منطقة الحمة يكون دون مستوى سطح البحر (الرواس, 2012). أمّا مناخياً فإن منطقة الدراسة تقع ضمن مناخ حوض البحر المتوسط الحار الجاف صيفاً، والبارد الماطر شتاءً، إلى الجنوب من المسارات الرئيسية للمنخفضات الجوية القادمة من أوروبا التي تتجه نحو الشمال والشمال الشرقي، ويتأثر الإقليم بالكتل الهوائية الباردة القادمة من النطاقات الباردة في الشتاء، وقد انعكست هذه الظروف على خصائص الفصول؛ حيث يكون فصل الشتاء ماطراً بارداً، والصيف جاف حار، مع فصلين انتقاليين قصبيين يتصفان بالاعتدال وعدم الاستقرار وهما الربيع والخريف (موسى, 1989).

وتتصف منطقة الدراسة بوجود تباين في معدلات هطول المطر؛ حيث يقل هطول الأمطار بالاتجاه شرقاً؛ التي تفسر بتباعد الارتفاع عن سطح البحر، والموقع الفلكي، إضافة إلى تباين العوامل السينوباتيكية المرتبطة بالدوران العامة للغلاف الجوي فوق الحوض الشرقي للبحر المتوسط التي تؤثر في مناخ الإقليم. كما تُسهم فتحة الجولان (الفتحة الجنوبية) غرب الإقليم بتوجّل المؤثرات البحرية الارتبطة نحو الداخل وما يرافقها من حالة اضطراب جوي، تعمل

بالنهاية على غزارة أمطاره؛ حيث تسمح الرياح الغربية والجنوبية الغربية بتوغل الكتل الهوائية البحرية الرطبة وتعتمد الرياح الغربية مع السفح الغربي لجبل العرب الذي يأخذ شكلاً طولياً - وهذا ما جعل الفرق واضحًا بين متوسط أمطار المناطق المجاورة له (عبدالسلام، 1990).



الشكل (1): موقع محطات الأرصاد الجوية في منطقة الدراسة

6. الدراسات السابقة:

تناول عدد كبير من الدراسات اتجاهات هطول الأمطار، وتباين توزيعها المكاني والزمني باستخدام نظم المعلومات الجغرافية والتكنيات الإحصائية (Thilagavathi et al., 2014). FANN KENDALL (Chandniha et al., 2016) استخدام اختبار (IDW) لتقدير هطول الأمطار، وتحديد وسائل التحليل المكاني في نظم المعلومات الجغرافية مثل مضلع (Thiessen)، وطريقة الوزن العكسي للمسافة (IDW) لتقدير هطول الأمطار، وتحديد اتجاهات هطلها في الجزء الشرقي من كوتاك في الهند. كما حل (Anandakumar et al., 2008) اتجاهات هطول الأمطار وتقلباتها خلال الفترة (1901-2002) - بمنطقة حوض نهر كوفري في الهند باستخدام نظم المعلومات الجغرافية، ومعامل MANN KENDALL.

أما على المستوى الإقليمي فقد استخدم (Erdoğan & Yavuz, 2012) تقنيات الإحصاء الجغرافي في بيئات نظم المعلومات الجغرافية للتنبؤ المكاني بالاتجاهات الزمنية لسقوط الأمطار الشهرية السنوية في تركيا، وقد استخدمت الدراسة قاعدة بيانات كثيفة ومتجانسة لمطر الأمطار الشهري لـ 120 محطة مطوية على مدى 32 عاماً خلال فترة اختبار 1975-2009. وفي دراسة أجريت على جنوب الأردن (سقالله والشقرور، 2013)، تم تحليل البيانات المطرية لخمس محطات متاخمة باستخدام المعاملات الأحصائية، وتبين وجود تراجع المتواترات السنوية للأمطار، ووجود علاقة ارتباط عكسية بين الأمطار والزمن وهذه العلاقة ذات دلالة إحصائية عند مستوى معنوية 0.05.

واشارت دراسة (شحادة، 2011) إلى أن منطقة حوض البحر المتوسط شهدت تناقصاً ملحوظاً في الأمطار وصل إلى 5% من المعدل السنوي للأمطار، وذلك نتيجة التناقض المحتدم في عدد المنخفضات الجوية التي تكون في الحوض الأوسط للبحر المتوسط، خاصة التي تسلك مساراً شرقياً. وفي التقرير الثاني لاتفاقية الأمم المتحدة الإطارية بشأن تغير المناخ (UNFCCC, 2009) بين وجود انخفاضاً في المعدلات السنوية للأمطار بنسبة تراوحت بين 5-20% لمعظم المحطات المناخية، مع ارتفاع طفيف لكميات التساقط بالنسبة تراوحت بين 5-10% في محطتي الرويشد ورأس منيف. وفي دراسة (الزغول، 2006) تم تحليل التغيرات التي طرأت على الاتجاه العام للأمطار في منطقة شرق البحر المتوسط، وتبين وجود تغير في متوسط هطول الأمطار

السنوية وعدد الأيام الماطرة، وانخفاض في مجموع الأمطار السنوية وعدد الأيام الماطرة خلال الفترة (1932-2003).

أما على المستوى المحلي فقد تناولت دراسة (الموسي، 2015) الخصائص المناخية والإحصائية لكميات الهطل السنوية في محطة دمشق (المزة) للفترة 1918/1919-2013/2014) وبينت الدراسة أن كميات الهطل السنوية تخضع لقانون التوزيع الطبيعي Normal Distribution ، وتبين أنه لا يوجد اتجاه عام مهم إحصائياً لكميات الهطل السنوية على الرغم من المؤشر العام الهابط خلال الفترة المدروسة. ودراسة (الرواس، 2012) التي أظهرت وجود اختلاف في معدل كمية الأمطار السنوية من عام لآخر في سوريا، وهذا يعود إلى اختلاف أعداد المنخفضات الجوية التي تؤثر في سوريا وقوتها.

7. منهجة الدراسة:

اعتمدت هذه الدراسة على بيانات الأمطار في محطات منطقة الدراسة خلال الفترة (1960-2019)، التي تم الحصول عليها من دائرة الأرصاد الجوية السورية، بهدف تحليل خصائص التغيرات المناخية الزمانية والمكانية التي طرأت على معدلات الأمطار الشهرية والفصلية والسنوية، وتعريف الاتجاهات في هطول الأمطار بمرور الزمن في محطات الدراسة.

1.7 الاختبار الإحصائي:

جرى استخدام اختبار مان كيندال، لأنه اختبار إحصائي غير معلمي لقياس مستوى الإرتباط بين متغيرين إحصائيين اعتماداً على رتب القيم الملاحظة؛ لذلك القيم المتطرفة للبيانات لا تؤثر في النتائج، وقد تم تطبيق طريقة مان- كيندال القائمة على الرتبة على بيانات السلسلة الزمنية في هذه الدراسة للكشف عن الاتجاهات العامة للأمطار ذات الدلالات الإحصائية في محطات الدراسة. وفي هذا الاختبار، كانت الفرضية الصفرية (0) وهي عدم وجود اتجاه في هطول الأمطار خلال فترة الدراسة، وكانت الفرضية البديلة (1) هي وجود اتجاه (زيادة أو تنقص) في معدلات الأمطار خلال فترة الدراسة. والمعدلات الرياضية المستخدمة لاحتساب إحصائيات مان كيندال هي كما يلي (Kendall, 1975):

$$S = \sum_{i=1}^{n-1} \sum_{j=i+1}^n \text{sig}(X_j - X_i),$$

$$\text{sgn}(X_j - X_i) = \begin{cases} +1 & \text{if } (X_j - X_i) > 0 \\ 0 & \text{if } (X_j - X_i) = 0 \\ -1 & \text{if } (X_j - X_i) < 0, \end{cases}$$

$$V(S) = \frac{1}{18} \left[n(n-1)(2n+5) - \sum_{p=1}^q t_p (t_p - 1) (2t_p + 5) \right]$$

$$Z = \begin{cases} \frac{S-1}{\sqrt{\text{VAR}(S)}} & \text{if } S > 0 \\ 0 & \text{if } S = 0 \\ \frac{S+1}{\sqrt{\text{VAR}(S)}} & \text{if } S < 0. \end{cases}$$

حيث، (X_i) هي ملاحظات السلسلة الزمنية بالترتيب الزمني، (n) هي طول السلسلة الزمنية، (t_p) هو عدد الروابط لقيمة p^{th} ، و(q) هو رقم القيم المرتبطة، وتشير القيم الموجبة Z إلى اتجاه تصاعدي في السلسلة الزمنية للأمطار، وتشير القيم السالبة Z إلى قيمة سالبة الاتجاه العام للأمطار. إذا كانت ($Z > Z_{1-\alpha/2}$) تكون الفرضية الصفرية (H_0) مرفوضة إحصائياً ويوجد اتجاه في السلسلة الزمنية للأمطار، القيمة الحرجية $Z_{1-\alpha/2}$ قيمة p من المعيار الجدول العادي هو 1.96 (Kendall, 1975).

2.7 مقدار الانحدار Sen's Slope

جرى استخدام طريقة Sen's Slope غير اللامعمية لتقدير حجم الاتجاهات في بيانات السلسلة الزمنية، حسب المعادلة التالية (Kendall, 1975).

$$T_i = \frac{x_j - x_k}{j - k}.$$

في هذه المعادلة، x_j و x_k تمثل قيم البيانات في الزمن j و k على التوالي، ونُعَدّ:

$$Q_i = \begin{cases} T_{(N+1)/2} & N \text{ is odd} \\ \frac{1}{2} (T_{N/2} + T_{(N+2)/2}) & N \text{ is even.} \end{cases}$$

إذا كانت قيمة Qi موجبة فإنها تمثل اتجاهًا متزايدًا؛ وإذا كانت قيمة Qi سالبة فإنها تمثل اتجاه متناظرًا خلال فترة الدراسة.

3.7 طريقة الاستيفاء المكاني

جرى استخدام طريقة IDW (Inverse Distance Weighing) الوزن العكسي للمسافة لاستيفاء البيانات المكانية، التي تستند إلى مفهوم ترجيح المسافة، وقد جرى استخدامها لتقدير بيانات هطول الأمطار المكانية لل نقاط غير المعروفة من البيانات المعروفة في الموقع المجاورة (Li and Heap, 2008). وعلى الرغم من أنَّ طريقة IDW هي طريقة استيفاء بسيطة ولكنها فعالة، وتستند إلى افتراض أنَّ قيم المتغيرات في النقطة التي سيتم توقعها مماثلة لقيم نقاط المراقبة القريبة؛ حيث تشير IDW إلى أنَّ لكل محطة تأثير محلِّي، يتناقض مع المسافة عن طريق استخدام معامل القدرة (Isaaks and Srivastava, 1989).

$$\hat{R}_p = \sum_{i=1}^N w_i R_i \quad (1)$$

$$w_i = \frac{d_i^{-z}}{\sum_{i=1}^N d_i^{-z}} \quad (2)$$

حيث \hat{R}_p تعني بيانات هطول الأمطار غير المعروفة (مم)؛ يعني R_i بيانات هطول الأمطار لمحطات هطول الأمطار المعروفة (مم)؛ N تعني كمية محطات هطول الأمطار؛ تعني الكلمة w_i ترجيح كل محطة من محطات هطول الأمطار؛ تعني المسافة من كل محطة مطرية إلى الموقع غير المعروف؛ a تعني القوة (Lin and Yu, 2008).

8. التحليل والمناقشة:

تم في هذه الدراسة حساب المتوسط السنوي للأمطار، ومعامل الاختلاف خلال الفترة (1960 – 2019) لهطول الأمطار السنوية لكل محطة. كما في الجدول (2)، تبيَّن من الجدول أنَّ متوسط هطول الأمطار السنوي يتراوح بين (131.7 ملم) في الجزء الشمالي الشرقي من منطقة الدراسة في محطة مطار دمشق الدولي، إلى (697.7 ملم) في الجزء الجنوبي الغربي في محطة القنيطرة، ويشير الجدول (2) إلى أنَّ الانحراف المعياري تراوح بين (51.1٪) في مطار دمشق الدولي و(232.6٪) في القنيطرة.

الجدول (2): متوسط إحصائيات هطول الأمطار السنوية لمحطات الدراسة للفترة (1960-2019م)

الانحراف المعياري	المعدل السنوي ملم	أعلى قيمة ملم	أقل قيمة ملم	المحطة
51.1	131.7	283.5	33.3	مطار دمشق الدولي
93.8	256.0	465.5	69.1	مطار المزة
232.6	697.7	1152.2	234.2	القنيطرة
90.3	326.8	498	109.2	السويداء
82.1	254.2	418.7	93.4	درعا

المصدر: دائرة الأرصاد الجوية السورية، بتصرف الباحثين.

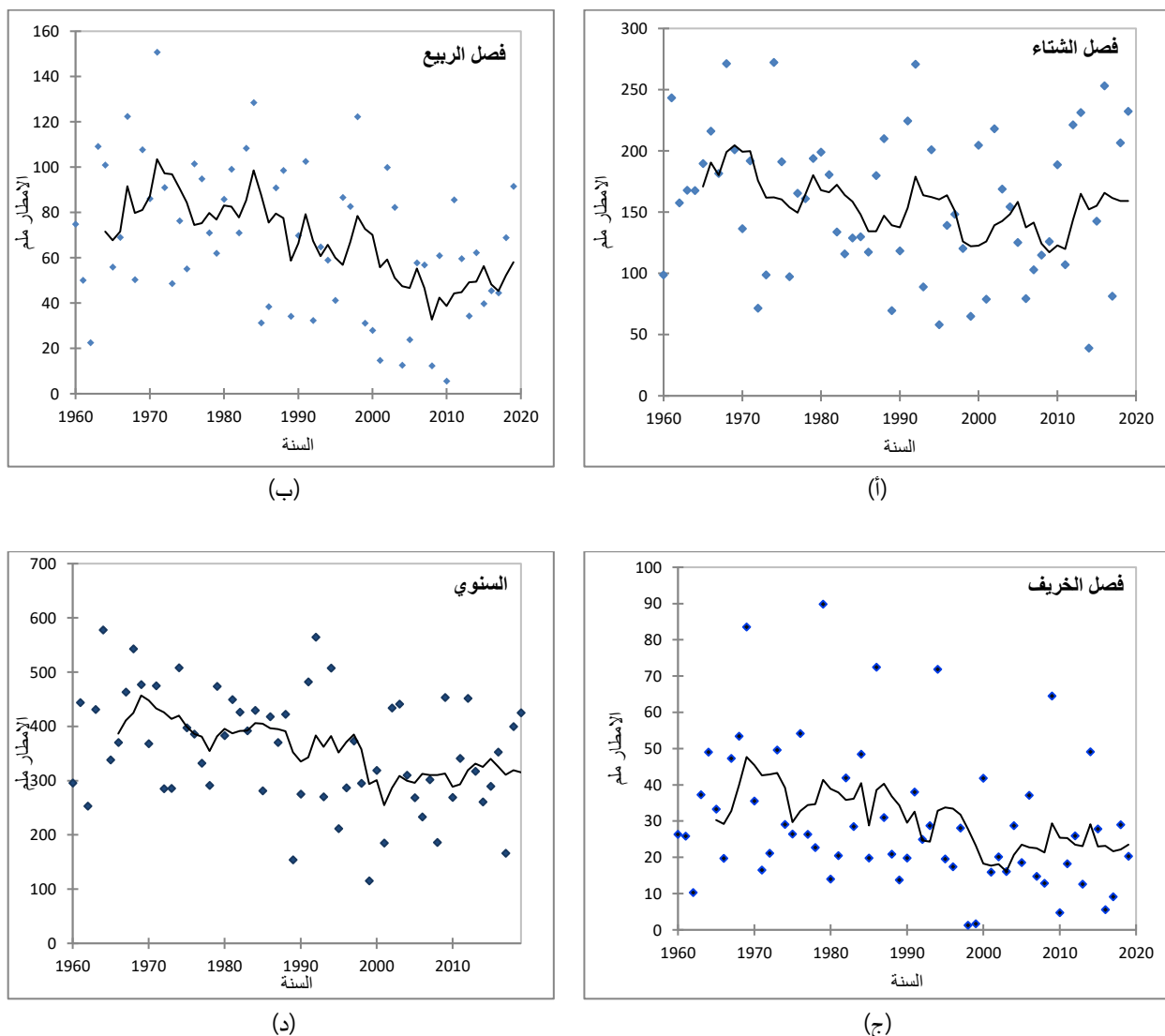
1.8 التحليل الفصلي والسنوي:

تم تقييم الأنماط المناخية طوبيلة الأجل للسلسلة الزمنية الفصلية والسنوية لهطول الأمطار في محطات الدراسة، وقد أظهر منحنى هطل الأمطار لفصل الشتاء خلال الفترة (1960-2019م)، الشكل (2)، وجود اتجاهًا عامًا متناظرًا طيلة فترة الدراسة، مع بعض التفاوت خلال العقود الزمنية، وأظهر اتجاهًا متزايدًا في العقد الأول من الدراسة خلال (1960-1970)، وفي العقدين الثاني والثالث من (1970-1990) أظهر وجود اتجاهًا متناظرًا، كما لوحظ انخفاض قيمة المنحنى في عام (2009م)، ثم بدأ يرتفع تدريجيًّا بعد عام (2010). وعلى نحو عام، يشير منحنى بيانات فصل الشتاء إلى انخفاض في هطل الأمطار بعد عام (1968)، وكان هناك ارتفاع تدريجيًّا بعد عام (2010)، على الرغم من وجود تقلبات سنوية.

على نحو عام، يشير منحنى هطل الأمطار لفصل الربيع الشكل (2، ب) إلى انخفاض في هطل الأمطار طيلة فترة الدراسة مع وجود تقلبات سنوية، وقد أظهر زيادة تدريجية في العقد الأول (1960-1970)، بعد أن بلغ أعلى قيمة له في عام (1970)، انخفض على مدى العقدين التاليين من (1970-1990)، ثم بدأ يرتفع تدريجيًّا بعد عام (2010). كما أظهر منحنى هطل الأمطار لفصل الخريف الشكل (2، ج) تناقض الاتجاه خلال فترة الدراسة، مع اتجاه مشابه لفصل الشتاء والربيع خلال عقود الدراسة. أما بالنسبة لمنحنى الهطل السنوي تبيَّن في المنحنى شكل (2، د)، وجود اتجاه عام متناظر طيلة فترة الدراسة، مع تقلبات سنوية وتغيرات في كل عقد.

وتم استخدام MANN KENDALL لتحديد الاتجاهات الفصلية والسنوية لهطول الأمطار بين عامي (1960-2019)، ووضَّح الجدول (3) النتائج، وعلى غرار التحليل الشهري، تبيَّن أنَّ جميع الاتجاهات كانت سلبية حسب تحليل MANN KENDALL في جميع محطات الدراسة (مطار

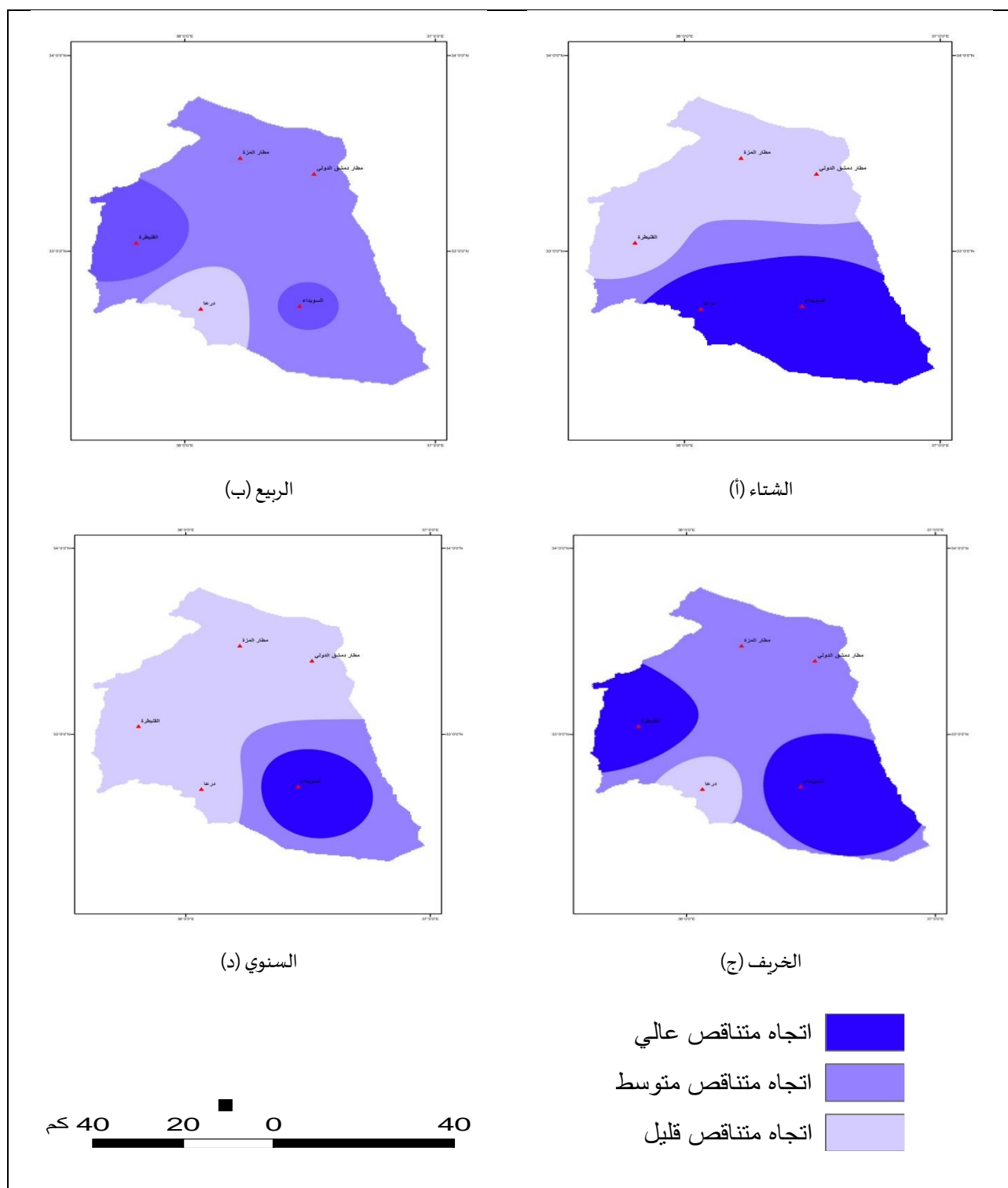
دمشق، مطار المزة، درعا، القنيطرة والسويداء) وقد أظهرت اتجاهات سلبية منخفضة في فصل الشتاء، واتجاهات سلبية مرتفعة في فصلي الخريف والربيع، وتم الكشف عن اتجاهات سلبية مرتفعة في اتجاهات المطر السنوي في جميع المحطات. والشكل (3) بين التوزيع المكاني لاتجاهات المطر الفصلي والسنوي، وقد أظهرت محطة القنيطرة أعلى اتجاه سلبي على المستوى السنوي، وأظهرت محطة درعاً أدنى اتجاه سلبي سنوي.



الشكل (2) هطول الأمطار ومحنثيات الاتجاه المتناقض في منطقة الدراسة (أ) فصل الشتاء، (ب) فصل الربيع، (ج) فصل الخريف، (د) السنوي.

الجدول (3): نتائج اختبار MANN KENDALL لمطر الأمطار في السلسل الزمنية الموسمية والسنوية

السنوي	الخريف	الربيع	الشتاء	المحطة
-0.233	-0.26	-0.274	-0.018	مطار دمشق الدولي
-0.211	-0.217	-0.267	-0.017	مطار المزة
-0.3	-0.333	-0.333	-0.020	القنيطرة
-0.2	-0.15	-0.167	-0.083	درعا
	-0.317	-0.300	-0.083	السويداء



الشكل (3): خريطة الاتجاهات المتناقصة لسلسلة الهطول المطري الفصلي والسنوي في الأقليم الجنوبي الغربي من سوريا

2.8 التحليل الشهري:

تم تطبيق اختبار Mann-Kendall على المستوى الشهري من أجل كشف الاتجاهات في سلسلة هطل الأمطار في محطات الدراسة خلال الفترة 1960-2019م ووضح الجدول (4) نتائج اختبارات الاتجاهات الشهرية للأمطار، التي أظهرت أن جميعها كانت سلبية، وذات دلالة إحصائية عند درجة أهمية 5%.

الجدول (4): نتائج اختبار MANN KENDALL لسلسلة الهطل المطري الشهري

المحطة/الشهر	تشرين 1	تشرين 2	كانون 1	كانون 2	شباط	اذار	نيسان	ايار
مطار دمشق الدولي	-0.062	-0.076	-0.084	-0.024	-0.038	-0.054	-0.138	-0.035
مطار المزة	-0.024	-0.183	-0.052	-0.001	-0.047	-0.148	-0.139	-0.044
القنيطرة	-0.014	-0.183	-0.153	-0.075	-0.067	-0.189	-0.110	-0.217
درعا	-0.044	-0.010	-0.044	-0.017	-0.013	-0.204	-0.100	-0.101
السويداء	-0.056	-0.084	-0.024	-0.038	-0.055	-0.190	-0.163	-0.043

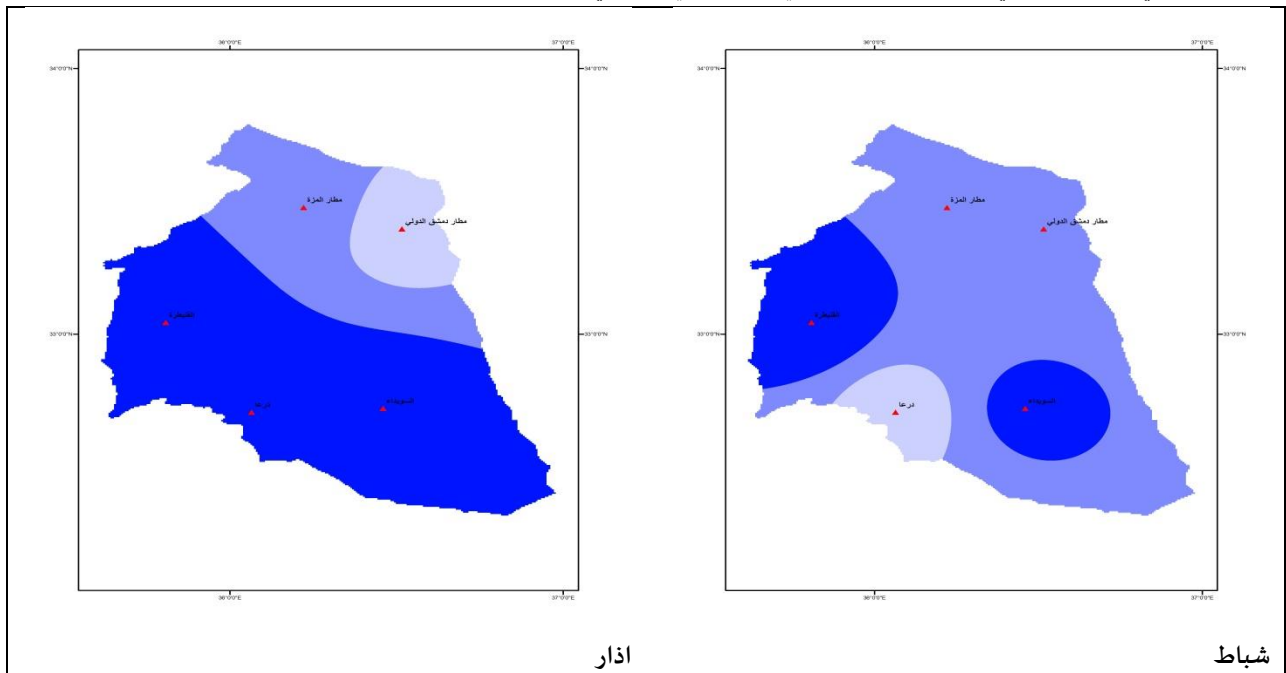
اتجاه متناقص عند درجة أهمية 5%

وضَّحَ الشكلان (4-أ)، (4-ب) التباين المكاني في السلسلة الزمنية لهطول الأمطار لكل شهر في منطقة الدراسة خلال الفترة (1960-2019م). ولُوحظ فيما وجود اتجاهات متناقصة عالية لجميع الأشهر باستثناء شهر أيار في محطة القنيطرة، وقد يعزى وجود اتجاه متناقص قليل خلال شهر أيار إلى انخفاض معدل المطر خلال هذا الشهر في محطة القنيطرة؛ حيث كان (11.7 ملم). ولم يتبيَّن وجود اتجاهات متناقصة عالية في محطة مطار دمشق الدولي، ومطار المزة، لكن تبيَّن وجود اتجاه متناقص متوسط خلال الأشهر شباط، وأذار ونيسان، وتناقص قليل خلال الأشهر تشرين الأول وتشرين الثاني، وكانون الأول وكانون الثاني. وتبين وجود اتجاهات متناقصة قليلة في أشهر تشرين الأول وتشرين الثاني وكانون الأول في محطتي السويداء ودرعا، ومزيج من اتجاهات المتناقص المرتفع والمتوسط في أشهر شباط، وأذار ونيسان.

وقد أظهرت النتائج أنَّ الاتجاهات في محطة القنيطرة كانت الأكثر تغييرًا مقارنة بالمحطات الأخرى؛ حيث سجلت المحطة أقصى انخفاض سلبي في الهطل (3.9 ملم / شهر) في شهر أيار، ونظرًا إلى أن قيمة P المحسوبة (0.017) أقل من مستوى الأهمية ($\alpha = 0.05$)، لذلك ترفض الفرضية الصفرية (H_0)

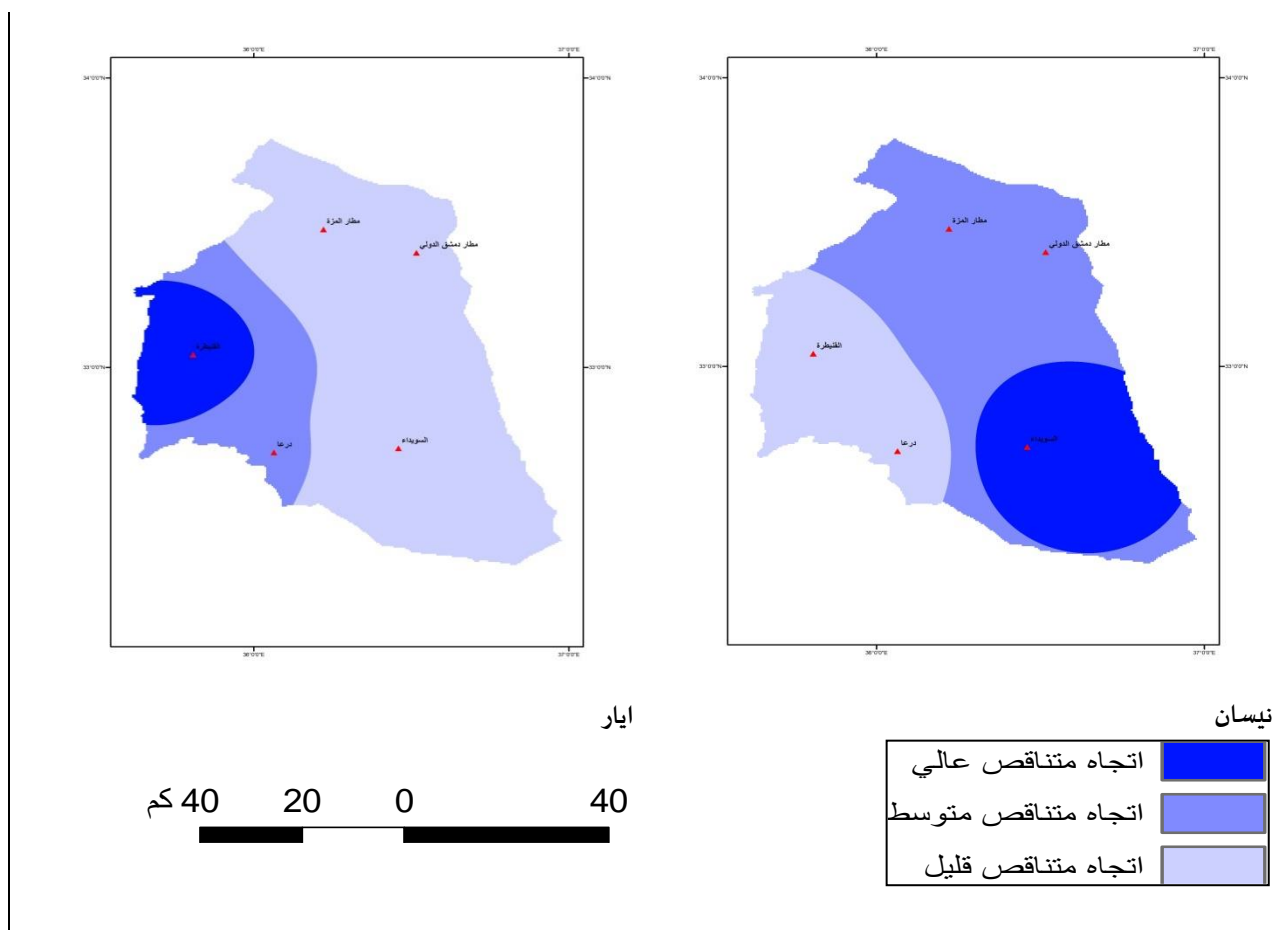
لا يوجد اتجاه في السلسلة الزمنية الشهرية، وتقبل الفرضية البديلة (H_a) أي أن هناك اتجاه في السلسلة الزمنية الشهرية.

وقد كان أقل تغير في الاتجاه في شهر تشرين الأول في محطة درعا مقارنة بالمحطات الأخرى؛ حيث سجلت المحطة أدنى انخفاض سلبي في الهطل (0.32 ملم / شهر)، ونظرًا إلى أن قيمة P المحسوبة (0.0919) أكبر من درجة الأهمية ($\alpha = 0.05$)، لذلك تقبل الفرضية الصفرية (H_0)، وترفض الفرضية البديلة (H_a)، أي لا يوجد اتجاه في السلسلة الزمنية الشهرية لشهر تشرين الأول في محطة درعا.

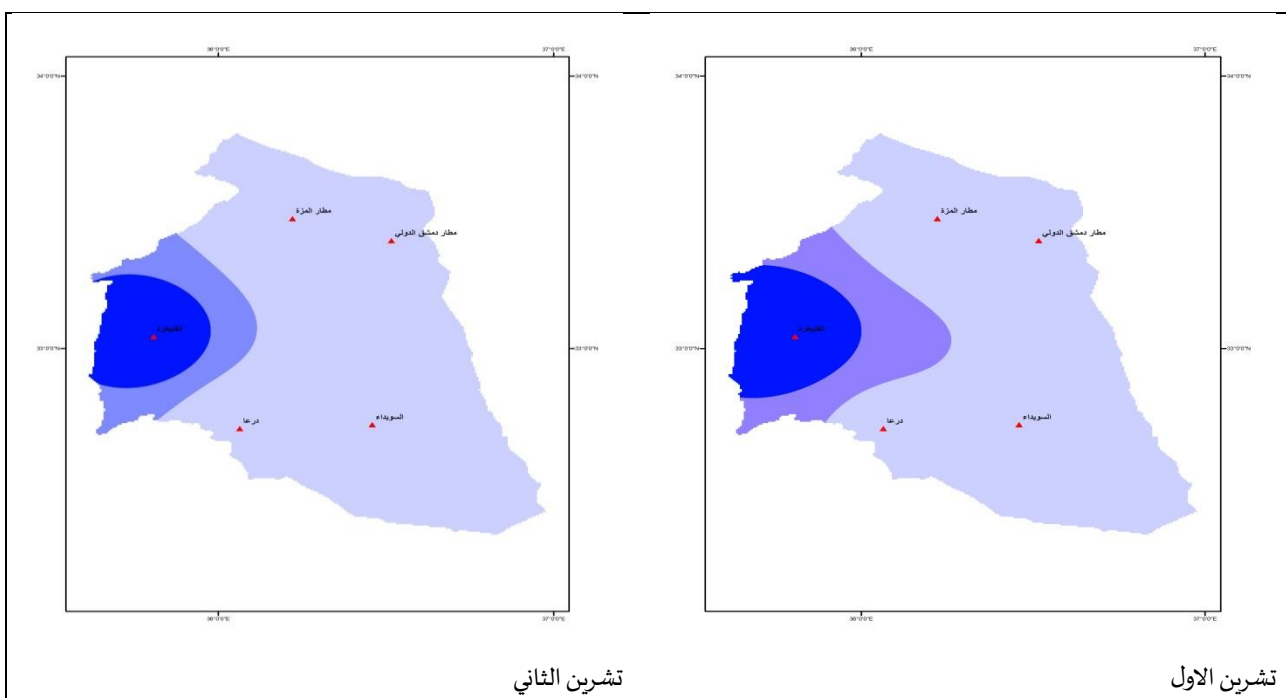


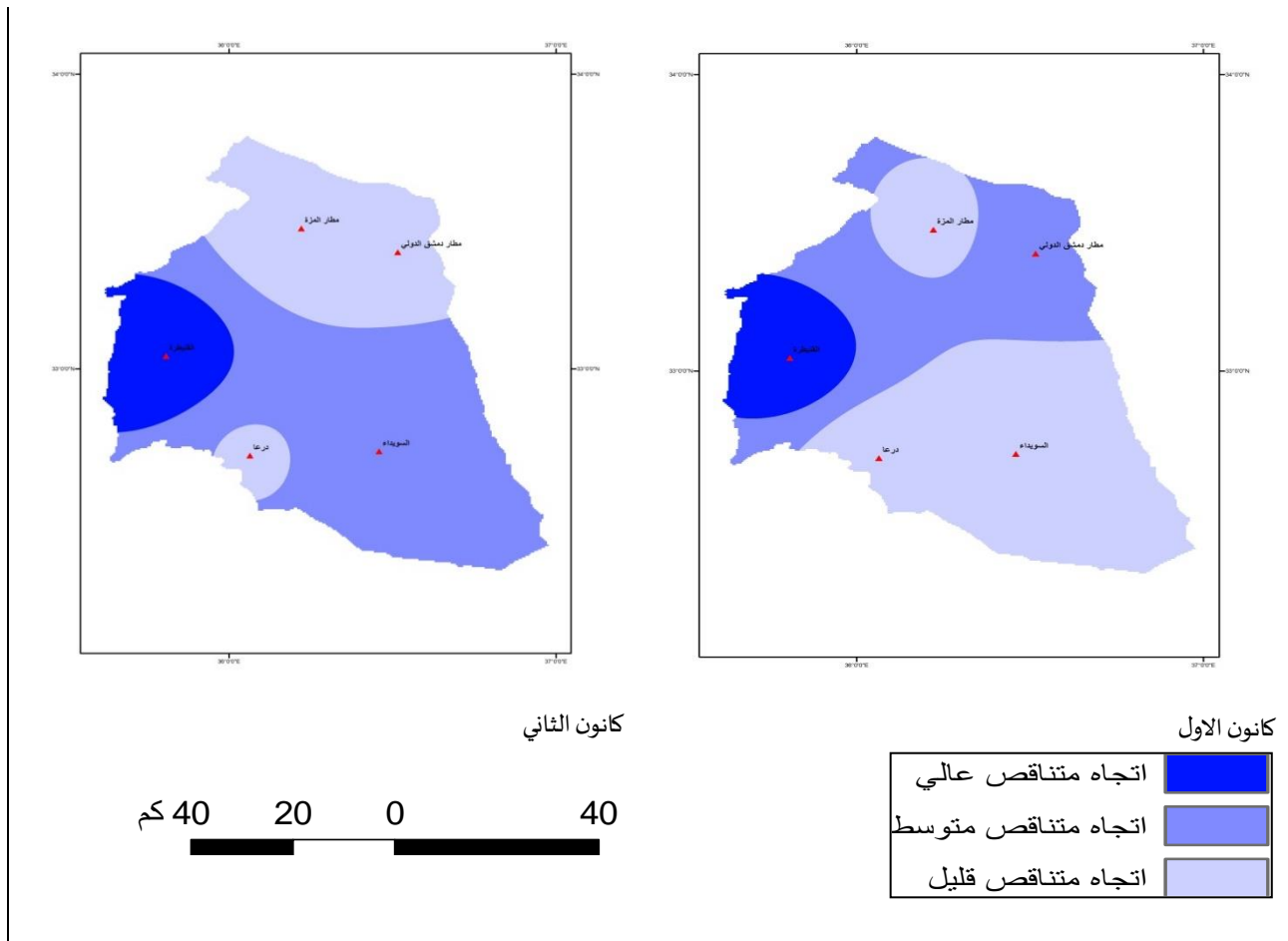
اذار

شباط



الشكل (4-ب) خريطة الاتجاهات المتناقصة للسلسلة الزمنية الشهرية لهطول الأمطار





9. النتائج

تناولت هذه الدراسة التباين الشهري، والفصلي، والسنوي لهطول الأمطار في خمس محطات تمثل إقليم الجنوب الغربي من سوريا على مدى ستون عاماً من الدراسة (1960-2019م). وتم تحليل اتجاهات هطول الأمطار لكل محطة، ولنطاق الدراسة بأكملها. ويمكن تلخيص نتائج الدراسة على النحو التالي:

- أظهر متوسط هطول السنوي في المحطات المختلفة تبايناً كبيراً، مع انحراف معياري بلغ (51.1 ملم) من متوسط هطل الأمطار السنوي البالغ 131.7 ملم) في مطار دمشق الدولي، وانحراف معياري مقداره (232.6 ملم) من متوسط هطل الأمطار السنوي البالغ (697.7 ملم) في محطة القنيطرة.
- جميع الاتجاهات المطرية كانت سلبية حسب تحليل MANN KENDALL في جميع محطات الدراسة (مطار دمشق، مطار المزة، درعا، القنيطرة والسويداء) وقد أظهرت اتجاهات سلبية منخفضة في فصل الشتاء، واتجاهات سلبية مرتفعة في فصلي الخريف والربيع، وتم الكشف عن اتجاهات سلبية مرتفعة في اتجاهات المطر السنوي في جميع المحطات.
- أظهرت محطة القنيطرة اتجاهات سلبية كبيرة (انخفاض هطل الأمطار خلال فترة الدراسة) عند درجة أهمية 5% في سلسلة هطول الأمطار السنوية. وتبين أن الحد الأعلى للتغيرات المهمة على المستوى الشهري كان في محطات درعا، والقنيطرة ومطار المزة. وأظهرت محطة درعا والقنيطرة أقصى انخفاض في الاتجاه العام الذي أشار إلى التغيير الحاد خلال فترة الدراسة بلغ (8.03 ملم / شهر) في درعا، وبلغ (18.7 ملم / شهر) عند مستوى أهمية 5% في سلسلة هطول الأمطار خلال شهر آذار.
- وجود اتجاهات متناقصة عالية لجميع الأشهر باستثناء شهر أيار في محطة القنيطرة، وقد يعزى وجود اتجاه متناقص قليل خلال شهر أيار إلى انخفاض معدل المطر خلال هذا الشهر في محطة القنيطرة؛ حيث كان (11.7 ملم).
- عدم وجود اتجاهات متناقصة عالية في محطة مطار دمشق الدولي، ومطار المزة، لكن تبين وجود اتجاه متناقص متوسط خلال الأشهر شباط، آذار ونيسان، وتناقص قليل خلال الأشهر تشرين الأول وتشرين الثاني، وكانون الأول وكانون الثاني.

- 6- تتبع نتائج هذه الدراسة نفس الاتجاهات الإحصائية التي ذكرت من قبل (زيتون، محمد، وشحادة، نعمان، 2015) حول مؤشرات التغير المناخي في شمال الأردن. وكانت النتائج متفقة مع نتائج دراسة (Alpert, et, al, 2008) حيث أوضحت الدراسة وجود انخفاض في كمية الأمطار في منطقة الدراسة خلال الخمسين سنة الماضية.
- 7- تتفق الدراسة الحالية جزئياً مع نتائج دراسة (ابراهيم، عبير، وأخرين 2016) التي أظهرت اتجاه عام سلي معنوي لكمية الأمطار السنوية، كما تتفق هذه الدراسة مع دراسة اسماعيل (2014) التي خلصت إلى وجود تراجع غير معنوي في كمية الأمطار السنوية في محطة (اللاذقية، الفرنلق)، ووجود تزايد غير معنوي في محطة صلنفة في الساحل السوري خلال الفترة (1978-2011)؛ وقد بلغت قيم تغير الاتجاه العام للمعدل السنوي لكمية الأمطار في هذه المحطات الثلاثة (اللاذقية، الفرنلق، صلنفة) قيمًا هي على التوالي (3.8 ملم/سنة، 5.64، 2.84).
- 8- ساهم هذه الدراسة في تحليل اتجاهات الأمطار في الإقليم الجنوبي الغربي من سوريا، واستكمال بيانات هطول الأمطار في المناطق التي لا يوجد فيها سجلات مطرية باستخدام طريقة الوزن العكسي للمسافة (IDW) ضمن بيئة GIS.
- 9- تفيد هذه الدراسة في فهم التغيرات التي طرأت على الاتجاهات العامة لكميات الأمطار في منطقة الدراسة، وتقلبات الهطول الأمطار، وقد تساعد منهاجية البحث والرسوم البيانية الكارتografية الباحثين بتطبيقها في مناطق أخرى، مما يساعد على اتخاذ القرار المستقبلي بخصوص الموارد المائية والزراعة البعلية.

المصادر والمراجع

- اسماعيل، فاطمة (2014)، دراسة تأثير التغيرات المناخية على مجموعات السنديان شبه العزري في محافظة اللاذقية ، رسالة ماجستير غير منشورة، جامعة تشرين.
- ثابت، علي، وأخرون، (2016)، تأثير الأمطار والحرارة على المؤشر النباتي (NDVI) للأرز اللبناني سورية، المجلة الأردنية في العلوم الزراعية، المجلد (12) العدد (2).
- الرواس، رهف (2012). الانضطرابات الجوية ودورها في الاختلافات الزمانية والمكانية للهطول في سوريا، أطروحة دكتوراه غير منشورة، جامعة دمشق.
- زيتون، محمد، وشحادة، نعمان، (2015)، مؤشرات التغير المناخي في شمال الأردن، دراسات، العلوم الإنسانية والاجتماعية، المجل (2)، العدد (42).
- عبد السلام، عادل (1990)، الأقاليم الجغرافية السورية، مطبعة الاتحاد، دمشق.
- موسى، علي (1987)، مناخ سوريا، الطبعة الأولى، مطبعة الحاجاز، دمشق.
- الموسى، فواز، (2015)، دورية الهطل المطري وموعده بداية موسمه واتجاهه العام في محطة حلب، مجلة بحوث جامعة حلب، سلسلة العلوم الإنسانية والاجتماعية والتربية، المجلد (1) / العدد (ع) (96).

References

- Abd al-Salam, Adel (1990). Syrian geographical regions, Al-Ittihad Press, Damascus.
- Al-Mousa, Fawwaz, (2015). Journal of the Rainfall and the Date of the Beginning of its Season and Its General Trend in the Aleppo Station, Journal of Aleppo University Research, Human, Social and Educational Sciences Series, Vol. (1) , P.96.
- Alpert, P; Krichak, S. O; Shafir, H; Haim, D; Osetinsky, I. (2008). Climatic trends to extremes employing 2008 regional modeling and statistical interpretation over the E. Mediterranean. Global and Planetary Change. 63 (2-3): 163-170
- Al-Rawas, Rahaf (2012). Air turbulence and its role in temporal and spatial differences in precipitation in Syria, Unpublished Ph.D. thesis, Damascus University.
- Anandakumar, S., Subramani, T., & Elango, L.(2018). Spatial Variation and Seasonal behaviour of rainfall pattern in lower bhavani river basin, Tamil Nadu, India. Int. Biannual J. Environ. Sci., 2 (1) 17 – 24
- Baines. P. G. (2006).The late 1960s global climate shift and its influence on the Southern Hemisphere,” in Proceedings of 8 ICSHMO, pp. 1477–1482, INPE, Foz do Iguacu, Brazil.
- IPCC (2007). Climate change 2007: climate change impacts, adaptation and vulnerability. Working Group II contribution to the Intergovernmental Panel on Climate Change Fourth Assessment Report. Summary for policymakers, 23.
- Ismail, Fatima (2014). Study of the Impact of Climate Change on Al-Sindian Al-Azri Groups in Latakia Governorate, Unpublished Master Thesis, Tishreen University.

- Kalnay E and Cai M. (2003). Impact of urbanization and land-use change on climate. *Nature* 423, 528–531.
- Luis, M. de, et al. (2009). Seasonal precipitation trends in the Mediterranean Iberian Peninsula in the second half of the 20th century, *International Journal of Climatology* 29, 1312-1323
- Musa, Ali (1987). *The Climate of Syria*, (1st), Al-Hijaz Press, Damascus.
- Pederson, D. (2008). Will climate change reduce or Increase Middle East Rainfall, *Green Report*, H.44.
- Ramanathan. V., Chung. C, D. Kim et al., (2005). Atmospheric brown clouds: impacts on South Asian climate and hydrological cycle," *Proceedings of the National Academy of Sciences of the United States of America*, 102(15), 5326–5333.
- Sen. P. K, (1968). Estimates of the regression coefficient based on Kendall's tau, *Journal of the American Statistical Association*, 63(324), 1379–1389.
- Thabet, Ali, et al. (2016). The effect of rain and heat on the vegetative index (NDVI) of Lebanese-Syrian rice, *The Jordanian Journal of Agricultural Sciences*, 12 (2).
- Thilagavathi, N., Subramani, T., Suresh, M., & Ganapathy, N.(2014). Rainfall variation and groundwater fluctuation in Salem Chalk Hills area, Tamil Nadu, India. *Int. J. Application Innov. Eng. Manag.*, 3, 148 – 160
- Yavuz. H, Erdogan H. (2012). Spatial Analysis of Monthly and Annual Precipitation Trends in Turkey, *Water Resour Manage*, 609–621.
- Zaitoun, Muhammad, and Shehadeh, Numan (2015). Climate Change Indicators in Northern Jordan, *Studies, Humanities and Social Sciences*, 2 (42).